

The Role of Blood Electrolytes and Lipid Profile in Seizures Occurrence in WAG/Rij Rats

Seyed Mahdi Vatandoust¹, Mina Sadighi Alvandi¹, Parviz Shahabi¹, Ghazaleh Ghamkhari Nejad^{2*}, Forough Foolad³

¹Neurosciences Research Center, Tabriz University of Medical Sciences, Tabriz, Iran

²Student Research Committee, Tabriz University of Medical Sciences, Tabriz, Iran

³Department of Physiology, Faculty of Medical Sciences, Tarbiat Modares University, Tehran, Iran

Article Info:

Received: 4 Jul 2015

Accepted: 3 Aug 2015

ABSTRACT

Introduction: Epilepsy is one of the most common neurological disorders associated with uncontrolled electrical activities in the brain. Electrolyte homeostasis is important for brain normal function. Imbalance in electrolytes can cause a seizure. The aim of this study is to evaluate the changes in lipids and electrolytes in absence seizure. **Materials and Methods:** In this study, 10 WAG/Rij and 10 Wistar rats (6-month old) were used. Blood samples were collected from heart under deep anesthesia. Biochemical parameters such as the amounts of cholesterol, triglycerides, high density lipoprotein (HDL), low density lipoprotein (LDL), sodium, potassium, calcium, and chloride were analyzed in the blood serum. **Results:** The amount of sodium, potassium, and chloride in WAG/Rij rat's blood plasma were significantly higher compared to Wistar rats and the amount of calcium in WAG/Rij was significantly lower than Wistar rats. In addition, the values of blood plasma lipids, including cholesterol, triglycerides, HDL, and LDL in WAG/Rij was lower than Wistar rats. **Conclusion:** The results showed the differences in electrolytes and lipids of plasma between WAG/Rij and Wistar rats. Further studies are needed if changes of electrolytes and lipids of plasma may be associated with seizure occurrence in this animal model of absence epilepsy.

Key words:

1. Epilepsy, Absence
2. Rats
3. Electrolytes
4. Lipids

*Corresponding Author: Ghazaleh Ghamkhari Nejad

E-mail: Gh_Ghamkhar@yahoo.com

نقش الکتروولیت‌های خون و مشخصات لیپیدی در بروز تشنج‌ها در موش‌های صحرایی WAG/Rij

سید مهدی وطن‌دشت^۱، مینا صدیقی‌الوندی^۲، پرویز شهابی^۱، غزاله غمخواری نژاد^{۳*}، فروغ فولاد^۲

^۱ مرکز تحقیقات علوم اعصاب، دانشگاه علوم پزشکی تبریز، تبریز، ایران

^۲ کمیته تحقیقات دانشجویی، دانشگاه علوم پزشکی تبریز، تبریز، ایران

^۳ گروه فیزیولوژی، دانشکده علوم پزشکی، دانشگاه تربیت مدرس، تهران، ایران

اطلاعات مقاله:

تاریخ پذیرش: ۱۲ مرداد ۱۳۹۴

تاریخ دریافت: ۱۳ تیر ۱۳۹۴

چکیده

مقدمه: صرع یکی از متداوی‌ترین اختلالات نورولوژیکی مرتبط با فعالیت‌های الکتریکی کنترل نشده در مغز است. هومئوستاز الکتروولیت برای عملکرد طبیعی مغز مهم است. عدم تعادل در الکتروولیت‌ها می‌تواند موجب تشنج شود. هدف از این مطالعه، بررسی تغییرات در لیپیدها و الکتروولیت‌ها در صرع غیابی است. **مواد و روش‌ها:** در این مطالعه ۱۰ موش صحرایی WAG/Rij و ۱۰ موش صحرایی ویستار (۶ ماهه) استفاده شد. نمونه خون از قلب تحت بیهوشی عمیق جمع‌آوری گردید. پارامترهای بیوشیمیایی مانند مقادیر کلسیرون، تری گلیسیرید، لیپوپروتئین با تراکم بالا، لیپوپروتئین‌های با تراکم پایین، سدیم، پتاسیم، کلسیم و کلر در سرم خون آنالیز شدند. **یافته‌ها:** مقدار سدیم، پتاسیم و کلر در پلاسمای خون موش صحرایی WAG/Rij در مقایسه با موش‌های صحرایی ویستار به طور معنی‌داری بالاتر بود و میزان کلسیم در Rij WAG/Rij نسبت به موش‌های صحرایی ویستار به طور معنی‌داری پایین‌تر بود. علاوه‌بر این، مقادیر لیپیدهای پلاسمای خون، شامل کلسیرون، تری گلیسیریدها، HDL و LDL در WAG/Rij نسبت به موش‌های صحرایی ویستار کمتر بود. **نتیجه‌گیری:** نتایج تفاوت‌هایی را در الکتروولیت‌ها و لیپیدهای پلاسمای بین موش‌های صحرایی WAG/Rij و ویستار نشان دادند. مطالعات بیشتری مورد نیاز می‌باشد چنانچه تغییرات الکتروولیت‌ها و لیپیدهای پلاسمای بروز تشنج در این مدل حیوانی صرع غیابی ارتباط داشته باشد.

کلید واژه‌ها:

۱. صرع کوچک
۲. موش‌های صحرایی
۳. الکتروولیت‌ها
۴. لیپیدها

* نویسنده مسئول: غزاله غمخواری نژاد

آدرس الکترونیکی: Gh_Ghamkhar@yahoo.com

صرع از جمله مهم‌ترین اختلالات دستگاه عصبی مرکزی در کودکان و بزرگسالان شناخته شده است که تقریباً ۱٪ جمعیت جهان به آن مبتلا هستند (۱). در حال حاضر ۱/۸ درصد از جمعیت ایران نیز از این بیماری رنج می‌برند (۲). صرع به دو نوع صرع کانونی و عمومی شونده تقسیم می‌شود. از مهم‌ترین صرع‌های عمومی شونده، صرع کوچک است که بیشتر در کودکان دیده می‌شود (۳). از ویژگی‌های بارز صرع کوچک اختلال اندک و ناگهانی در هوشیاری، همراه با تخلیه‌های نیزه‌ای -موجی هماهنگ، دولطفه و عمومی شونده با فرکانس ۴-۲/۵ Hz در ثبت‌های الکتروانسفالوگرافی (EEG)^۱ می‌باشد.

موش‌های صحرایی Rij^۲/WAG^۳ به عنوان یک مدل رایج برای مطالعه مکانیسم‌های دخیل در ایجاد صرع کوچک و نیز در آزمون‌های فارماکولوژی استفاده می‌شوند. ثبت EEG در موسهای صحرایی Rij/WAG نشان می‌دهد که تخلیه‌های نیزه‌ای -موجی در آن‌ها با فرکانس ۱۱-۷ Hz ایجاد می‌شوند. این فعالیت‌ها به مدت ۱ تا ۳۰ ثانیه طول می‌کشند و ویژگی فعالیت‌های نیزه‌ای -موجی در Rij/WAG مشابه با آنچه در بیماران مبتلا به صرع کوچک دیده می‌شود می‌باشد (۴).

تعادل پارامترهای الکتروشیمیایی خون و مایع مغزی -نخاعی نقش مهمی در عملکرد طبیعی مغز ایفاء می‌کند و برهم خوردن این تعادل می‌تواند منجر به بروز حملات تشنجی شود. صرع در افرادی با اختلالات سدیم، هیپوکلسیمی^۴ و هیپومنگنزیمی^۵ نسبت به افراد سالم بیشتر دیده می‌شود (۵). تغییر در شبی غلاظتی یون‌ها در دو طرف غشای سلولی می‌تواند اثرات مستقیم یا غیرمستقیم بر تخلیه‌های نورونی داشته باشد و فعالیت‌های شبه صرعی را تسهیل کند (۶). تناقض‌های زیادی در مورد الکتروولیت‌ها و لیپیدها در افراد صرعی وجود دارد. بعضی از مطالعات نشان می‌دهند که هیچ تفاوت معنی‌داری بین افراد صرعی و گروه کنترل وجود ندارد (۷) در حالی که تحقیقات دیگر تغییرات معنی‌داری را در مقادیر الکتروولیت‌ها و لیپیدهای بیماران صرعی گزارش کرده‌اند (۸). به دلیل اهمیت الکتروولیت‌ها در کنترل صرع و اینکه بهم خوردن تعادل آن‌ها منجر به آسیب مغز می‌شود، در این تحقیق تغییرات الکتروولیت‌های مهمی مانند سدیم، پتاسیم، کلسیم، کلر و همچنین لیپیدها در صرع کوچک مورد مطالعه قرار داده شد.

مواد و روش‌ها

حیوانات مورد آزمایش

در این مطالعه تجربی مورد -شاهدی، ۱۰ سر مous صحرایی^۶ نر نژاد WAG/Rij و ۱۰ سر مous صحرایی نر نژاد ویستار با متوسط وزنی ۳۰۰-۲۵۰ گرم و محدوده سنی بین ۶ الی ۷ ماه استفاده شد. موس‌های صحرایی نر نژاد Rij/WAG از

مرکز تحقیقات علوم اعصاب شفاء در بیمارستان خاتم الانبیاء تهران و موسسه‌های صحرایی نر نژاد ویستار از دانشکده پزشکی دانشگاه تبریز خریداری و در گروه‌های ۵ تایی نگهداری شدند. به منظور انجام آزمایش‌ها، حیوانات به دو گروه Wistar/Rij (گروه مورد) و ویستار (گروه شاهد) تقسیم‌بندی شدند. درجه حرارت حیوان‌خانه ۲ ± ۲۲ درجه سانتی‌گراد و سیکل ۱۲ ساعت نور و تاریکی بوده است. حیوانات دسترسی آزادانه به آب و غذا داشتند و از غذای فشرده تغذیه می‌کردند. تمامی مراحل آزمایش بر اساس کمیتۀ اخلاق کار با حیوانات آزمایشگاهی دانشگاه تبریز صورت گرفت.

جمع‌آوری نمونه‌های خون و آنالیز

حیوانات پس از ۱۴ ساعت ناشتابی با تزریق داخل صفاقی کتامین (۵ میلی‌گرم/کیلوگرم) و زایلazin (۵ میلی‌گرم/کیلوگرم) بیهوش شدند (۹). خون گیری با حجم ۵ میلی‌لیتر از قلب حیوانات انجام شد. نمونه‌های خونی مخلوط شده با هپارین برای اندازه‌گیری‌های هماتولوژی مورد استفاده قرار گرفتند. جهت جداسازی سرم از خون، نمونه‌ها به مدت ۵ دقیقه با دور ۲۰۰ rpm و دمای ۶ درجه سانتی‌گراد سانتریفیوژ گردیدند و سپس سرم در دمای ۸۰-۸۰ درجه سانتی‌گراد نگهداری شد.

مقادیر پارامترهای الکتروولیتی شامل سدیم، پتاسیم، کلسیم و کلر پلاسما به روش‌های زیر مورد سنجش قرار گرفت:

- سدیم و پتاسیم (میلی اکیوالان/لیتر) به روش فوتومتری شعله، به وسیله فلیم فوتومتر کورنینگ^۷ مدل ۴۱۰ ساخت کشور انگلستان، با استفاده از استانداردهای شرکت زیست‌شیمی ساخت ایران.

- کلسیم (میلی اکیوالان/لیتر) به صورت دستی با استفاده از کیت آزمایشگاهی پارس آزمون (ساخت ایران با کد ۹۴۰۰۲) به روش رنگ‌سنگی ارتوکرکزول فتالئین^۸ و به وسیله دستگاه اسپکتروفوتومتر.

- کلر (میلی اکیوالان/لیتر) به صورت دستی به روش رنگ‌سنگی تیوسیانات^۹ و با استفاده از کیت آزمایشگاهی زیست‌شیمی (ساخت ایران با کد ۱۰۸۳/۱۲).

جذب نوری در دستگاه اسپکتروفوتومتر (Bausch & Lamb) مدل ۷۰ ساخت کشور بلژیک) در طول موج ۴۵۰ نانومتر خوانده شد و با استفاده از نرم افزار اکسل^{۱۰} و به وسیله منحنی استاندارد به غلظت پیکوگرم/میلی‌لیتر تبدیل شد. حساسیت کیت ۲ (پیکوگرم/میلی‌لیتر) بود. مقادیر کلسترول تام و تری‌گلیسیرید (میلی‌گرم/دسی‌لیتر)، با استفاده از کیت‌های آزمایشگاهی (شرکت پارس آزمون، تهران، ایران به ترتیب با کدهای ۹۴۰۰۱ و ۹۴۰۰۳) و با روش آنژیمی کلسترول اکسیداز و گلیسرول اکسیداز اندازه‌گیری شدند. C-HDL^{۱۱} (میلی‌گرم/دسی‌لیتر)،

¹ Electroencephalography

² Wistar albino glaxo/Rij-rat

³ Hypocalcaemia

⁴ Hypomagnesemia

⁵ Rat

⁶ Flame photometer corning

⁷ Ortho-cresolphthalein complexone

⁸ Spectrophotometer

⁹ Thiocyanate

¹⁰ Excel

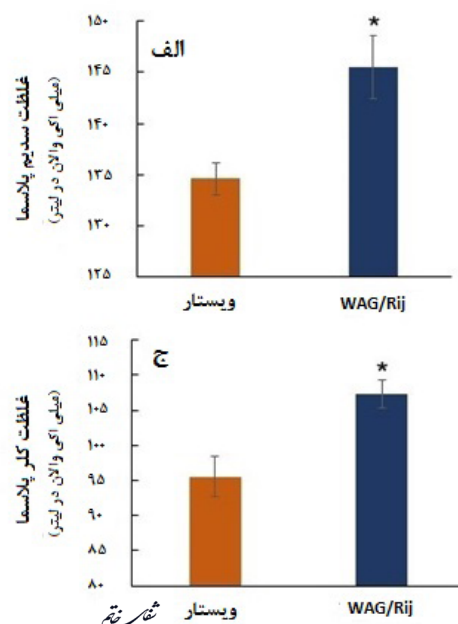
¹¹ High-density lipoprotein cholesterol

شماره نهم

بیشتر بود ($T(18)=2/26$, $P<0.04$) و تفاوت معنی داری در غلظت سدیم پلاسمایی در Rjz (WAG/Rij) $145/58 \pm 3/08$ میلی اکی والان (لیتر) نسبت به ویستار ($134/68 \pm 1/55$ میلی اکی والان / لیتر). مشاهده گردید ($T(18)=3/39$, $P<0.019$). غلظت کلر نیز در Rjz (WAG/Rij) $107/24 \pm 2/01$ میلی اکی والان (لیتر) نسبت به غلظت این الکتروولیت در گروه ویستار ($2/86$) همچنین اکی والان (لیتر) بیشتر بود. ($T(18)=3/07$, $P<0.021$). همچنین غلظت کلسیم در گروه Rjz (WAG/Rij) $2/41 \pm 0/11$ میلی اکی والان / لیتر نسبت به غلظت این پارامتر در ویستار ($2/92 \pm 0/12$) کمتر بود ($T(18)=2/34$, $P<0.047$). (نمودار ۱). آنالیز مقادیر لیپیدهای کلسیم، تری گلیسیرید، HDL و LDL در پلاسما

با بررسی مقادیر لیپیدها در پلاسمای خون دو گروه Rjz (گروه مورد) و ویستار (گروه شاهد) تفاوت معنی داری ($P<0.05$) در غلظت کلسیم، تری گلیسیرید، HDL و LDL مشاهده شد. مقادیر کلسیم در گروه ویستار به ترتیب $2/95 \pm 0/25$ میلی گرم/دسی لیتر و $2/16 \pm 0/22$ میلی گرم/دسی لیتر بودند که نسبت به مقادیر این پارامترها در گروه Rjz (WAG/Rij) به ترتیب $0/21$ میلی گرم/دسی لیتر و $0/22$ میلی گرم/دسی لیتر بیشتر می باشند ($T(18)=2/97$, $P<0.035$) و ($T(18)=3/26$, $P<0.021$).

مقادیر LDL در گروه ویستار $2/34 \pm 0/29$ میلی گرم/دسی لیتر می باشند که نسبت به مقدار این پارامتر در Rjz (WAG/Rij) $1/23 \pm 0/01$ میلی گرم/دسی لیتر) بیشتر بود ($T(18)=3/5$, $P<0.015$). مقادیر تری گلیسیرید در گروه ویستار $0/64 \pm 0/08$ میلی گرم/دسی لیتر و در گروه Rjz (WAG/Rij) $0/05$ میلی گرم/دسی لیتر بوده است (نمودار ۲) که نشان دهنده کمتر بودن مقدار این پارامتر در گروه مورد می باشد ($T(18)=2/54$, $P<0.042$).



پس از رسوب دادن بتا-لیپوپروتئین ها به وسیله دکستران سولفات و کلرور منیزیم، با همان روش آنزیمی کلسیمول اکسیداز تعیین مقدار شد. روش های فوق در دستگاه خود کار (CV) RA-1000 اجرا شدند. مقادیر LDL-C^{12} میلی گرم/دسی لیتر را می توان با در اختیار داشتن غلظت کلسیمول، تری گلیسیرید و HDL-C توسعه فرمول فریدوالد 13 به دست آورد. به طور کلی نمونه های پلاسمایی LDL حاوی کلسیمول است، به عبارتی در این حالت در LDL یا VLDL^{14} کلسیمول وجود ندارد، بنابراین با استفاده از معادله $[\text{LDL}] = [\text{TCI}] - [\text{HDL}] - [\text{TG}/2/175]$ می توان LDL را محاسبه کرد که در آن غلظت ها بر اساس میلی گرم/دسی لیتر بیان شده است و عبارت TG/2/175 برای نشان دادن VLDL به کار می رود (۱۰). مقادیر C و HDL-C با استفاده از کیت های آزمایشگاهی (شرکت پارس آزمون، تهران، ایران به ترتیب با کد ۹۴۰۴ و ۹۴۰۳) محاسبه شدند.

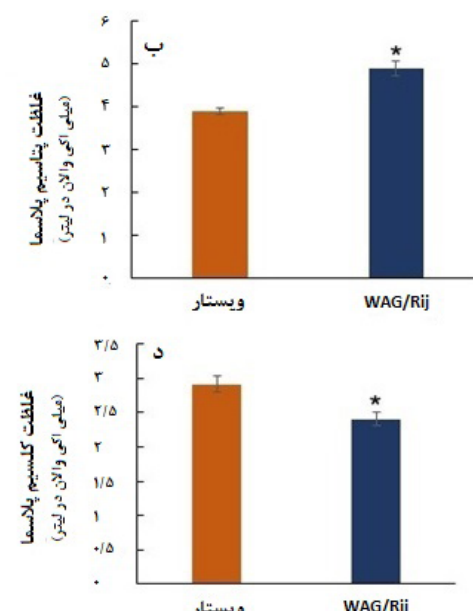
تجزیه و تحلیل داده ها

جهت مقایسه گروه ها با هم از آزمون t مستقل 15 استفاده شد. داده ها به صورت Mean \pm SEM گزارش شدند. به منظور آنالیز نرم افزار SPSS 17 استفاده گردید و مقادیر $P<0.05$ از لحاظ آماری معنی دار در نظر گرفته شدند.

یافته ها

آنالیز غلظت الکتروولیت های پلاسما

آنالیز داده های حاصل از اندازه گیری مقادیر الکتروولیت های پلاسمایی خون مربوط به دو گروه Rjz (گروه مورد) و ویستار (گروه شاهد) تغییرات معنی داری ($P<0.05$) را در پارامترهای پتاسیم، سدیم و کلر نشان دادند. غلظت پتاسیم در Rjz (WAG/Rij) $4/90 \pm 0/17$ میلی اکی والان (لیتر) از غلظت این الکتروولیت در گروه ویستار ($3/88 \pm 0/08$ میلی اکی والان (لیتر))



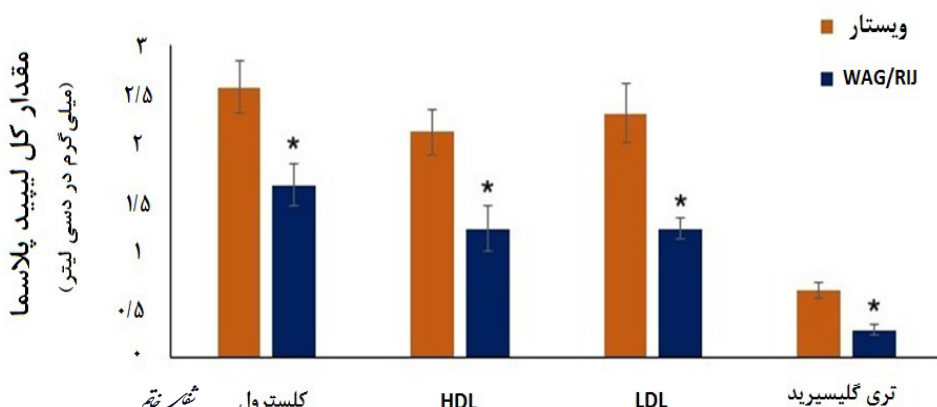
نمودار ۱- مقایسه غلظت الکتروولیت های سدیم (الف)، کلر (ب) و کلسیم (د) در پلاسمای خون دو گروه موش صحرایی ویستار (شاهد) و WAG/Rij (مورد). داده ها به صورت Mean \pm SEM گزارش شدند. * نشان دهنده اختلاف معنی دار در سطح $P<0.05$ گروه مورد در مقایسه با گروه شاهد می باشد.

¹² Low-density lipoprotein cholesterol

¹³ Friedewald

¹⁴ Very-low-density lipoprotein

¹⁵ Independed T-test



نمودار ۲- مقایسه مقدار لیپیدهای کلسترول، HDL، LDL و تری گلیسیرید در پلاسمای خون دو گروه موش صحرایی ویستار (شاهد) و WAG/Rij (مورد). داده‌ها به صورت Mean \pm SEM گزارش شدند. * نشان‌دهنده اختلاف معنی‌دار در سطح $P < 0.05$ بین گروه مورد در مقایسه با گروه شاهد است. HDL: لیپوپروتئین با تراکم بالا و LDL: لیپوپروتئین با تراکم پایین می‌باشد.

تغییر در غلظت پتاسیم درون سلولی اثر ناچیزی بر پتانسیل غشاء دارد در حالی که تغییر غلظت پتاسیم خارج سلولی منجر به تغییرات اساسی در پتانسیل غشاء می‌شود. مطالعات بسیاری اشاره به این نکته دارد که افزایش پتاسیم خارج سلولی مانع از دپلریزه شدن غشاء در مراحل پایانی صرع می‌شود (۱۵). Hablitz و Lundervold در هسته سینگولیت^{۱۶} تالاموس گربه در هنگام صرع افزایش می‌یابد (۱۶). همچنین در تحقیقی که توسط Korn و همکارانش انجام شد، به این نتیجه رسیدند که افزایش پتاسیم در مایع مغزی نخاعی می‌تواند در ارتباط با صرع باشد (۱۷).

تنظیم مقدار کلر برای بسیاری از عملکردهای سلولی مانند پیامرسانی^{۱۸} سلولی یا کنترل حجم سلول مهم است. تغییر در هومئوستاز کلر و پیامرسانی GABA می‌تواند در ایجاد بیماری صرع از اهمیت بالایی برخوردار باشد (۱۸). مقدار کلر در مبتلایان صرع افزایش پیدا می‌کند، اما گرجی و همکاران طی مطالعه‌ای نشان دادند که مقدار کلر در خون و مایع مغزی نخاعی در افراد مبتلا به صرع لوب گیجگاهی صرعی کمتر از افراد سالم است (۱۹).

نتایج حاصل از تحقیق حاضر نشان داد که مقدار سدیم، پتاسیم و کلر در خون حیوانات مبتلا به صرع کوچک نسبت به گروه کنترل و سالم بیشتر است، داده‌های ما در راستای نتایج تحقیق گرجی و همکارانش بر روی صرع لوب گیجگاهی نمی‌باشد که می‌تواند به دلیل متفاوت بودن نوع صرع و همچنین مدل آزمایشگاهی مورد استفاده باشد.

از دیگر یون‌های مهم در سیستم عصبی که در هدایت پیام عصبی نقش دارد، کلسیم می‌باشد که تغییر در مقدار این یون منجر به بروز اختلالات عصبی می‌شود، مثلًا هیپوکلسیمی منجر به بروز صرع می‌گردد (۷). Prasad و همکاران در تحقیقات خود به این نتیجه دست یافتند که کاهش کلسیم مایع مغزی

بحث و نتیجه‌گیری

نتایج این تحقیق نشان داد که مقدار کتروولیت‌های سدیم، پتاسیم و کلر در پلاسمای خون مosh‌های صحرایی Jij و WAG/Rij نسبت به گروه ویستار بیشتر بود ولی مقدار کلسیم در مosh‌های صحرایی WAG/Rij به طور معنی‌داری نسبت به گروه شاهد کمتر می‌باشد. همچنین مقادیر لیپیدهای پلاسمای خون شامل کلسترول، تری گلیسیرید، HDL و LDL در مosh‌های صحرایی Jij به نسبت معنی‌داری در مقایسه با گروه شاهد کمتر بود.

اختلال در پارامترهای بیوشیمیایی و هماتولوژیکی مایعات خارج سلولی مانند خون نقش مهمی در ایجاد بیماری صرع دارد (۷)، هومئوستازی الکتروولیت‌ها در سیستم عصبی مرکزی برای عملکرد مغز مهم می‌باشد و تنظیم تعادل یون‌ها از طریق فرایندهای پیچیده که یون‌ها را به خارج یا داخل بافت مغز هدایت می‌کنند، از اهمیت بهسازی ببرخوردار است (۵) اندازه‌گیری الکتروولیت‌هایی مانند سدیم، پتاسیم، کلر و همچنین لیپیدهای پلاسمای می‌تواند به شناسایی یا درمان صرع در بیماران کمک کند و آن‌ها را از خطرات آسیب به مغز مصون دارد (۱۱).

الکتروولیت‌های سدیم و پتاسیم نقش مهمی در کنترل تحریک‌پذیری سیستم عصبی دارند (۱۲، ۱۳). طی مطالعه‌ای مشاهده شد که افزایش یا کاهش سطح سدیم خون با فعالیت‌های صرعی در ارتباط است. Airaksinen و Kiviranta نشان دادند در کودکان مبتلا به صرع، کاهش معنی‌داری در سدیم سرمه خون اتفاق می‌افتد (۱۴). آزمایش‌ها نشان می‌دهند که طی صرع تونیک-کلونیک که حرکات مکرر دست و پا وجود دارد، گلیکوژن بافتی به لاکتات تبدیل می‌شود. لاکتات اسمولالیته بالایی در مقایسه با گلیکوژن دارد، بنابراین جریان آب می‌تواند مقدار سدیم خون را افزایش دهد و هایپرناترمی^{۱۹} ایجاد کند (۷).

¹⁶ Hypernatremia

¹⁷ Cingulate

¹⁸ Signaling

مبتلابه صرع عمومی شونده و کانوئی کاهش پیدا کرد، اما مقدار تری گلیسیرید بدون تغییر بود (۲۰). Palanisamy و همکاران نشان دادند که مقدار کلسترول، HDL و LDL و تری گلیسیرید در خون افراد صرعی مبتلا به صرع لوب گیجگاهی افزایش می‌یابد که مخالف با نتایج قبلی و نیز نتایج تحقیق حاضر است (۲۳). ما در تحقیق حاضر به بررسی پروفایل لیپیدی در صرع کوچک پرداختیم که قبلاً مطالعه نشده بود. کاهش لیپیدهای پلاسمای احتمالاً به دلیل مهار کانال‌های یونی وابسته به ولتاژ، فرکانس پتانسیل عمل و تخلیه‌های تحریکی می‌باشد (۲۴).

نتایج مطالعه حاضر نشان می‌دهد که بیشتر بودن مقادیر الکتروولیت‌های سدیم و پاتاسیم و کلر و کمرت بودن میزان مقادیر کلسیم و لیپیدهای پلاسمای در حیوانات مبتلا به صرع کوچک در مقایسه با موش‌های صحرایی ویستار احتمالاً می‌تواند یکی از عوامل مؤثر در بروز صرع کوچک باشد که اثبات این موضوع نیاز به تحقیقات بیشتری دارد.

تشکر و قدردانی

نویسنده‌گان این مقاله از مرکز کمیته تحقیقات دانشجویی دانشکدة علوم پزشکی تبریز برای حمایت مالی تشکر و قدردانی به عمل می‌آورند.

-نخاعی ممکن است در ارتباط با صرع کانوئی و صرع ساده باشد (۲۰) که نتایج حاضر نیز هم راستا با این تحقیق است و کاهش در کلسیم پلاسمای در حیوانات صرعی نشان می‌دهد.

به عنوان مکانیسم‌های توجیه‌کننده تغییر مقادیر الکتروولیت‌ها در پلاسمای هنگام بروز صرع، افزایش مقدار سدیم خارج سلولی به دلیل افزایش فعالیت پمپ سدیم -پتاسیم در زمان وقوع صرع و یا کاهش کلسیم در مایع خارج سلولی بسیار محتمل است. با کاهش مقادیر کلسیم، نفوذپذیری غشای نورونی به یون‌های سدیم افزایش یافته و منجر به دپلاریزه شدن غشاء و افزایش پتانسیل عمل می‌گردد که می‌تواند در صرع دخیل باشد (۲۱، ۲۲).

لیپیدها در سلول بسیار با اهمیت هستند. آن‌ها در غشای سلولی حضور دارند و نیز در فراهم کردن انرژی، به عنوان ۱۹ نقش ویتامین‌های محلول در چربی و بیوسنتز پروستاگلاندین‌ها^{۱۹} مهمی دارند. کلسترول پیش‌ساز هورمون‌های استروئیدی و ویتامین D است. کلسترول و استرکلسترول توسط LDL به بافت‌ها حمل می‌شوند و از طریق HDL از بافت‌ها به کبد منتقل می‌شوند. به تازگی مطالعاتی وجود رابطه بین لیپیدها و اختلالات مغزی مانند آزاییم و صرع را اثبات کردند (۲۳). طی مطالعه‌ای نشان داده شد که مقدار کلسترول، HDL و LDL در بیماران

منابع

- Bergin PS, Sadleir LG, Walker EB. Bringing epilepsy out of the shadows in New Zealand. *N Z Med J*. 2008; 121(1268): U2894.
- Acharya MM, Hattiangady B, Shetty AK. Progress in neuroprotective strategies for preventing epilepsy. *Prog Neurobiol*. 2008; 84(4): 363-404.
- Weiergräber M, Stephani U, Köhling R. Voltage-gated calcium channels in the etiopathogenesis and treatment of absence epilepsy. *Brain Res Rev*. 2010; 62(2): 245-71.
- Drinkenburg W, Van Luijtelaar E, Van Schaijk W, Coenen A. Aberrant transients in the EEG of epileptic rats: a spectral analytical approach. *Physiol Behav*. 1993; 54(4): 779-83.
- Castilla-Guerra L, Fernandez-Moreno MdC, López-Chozas JM, Fernandez-Bolanos R. Electrolytes disturbances and seizures. *Epilepsia*. 2006; 47(12): 1990-8.
- Schwartzkroin PA, Baraban SC, Hochman DW. Osmolarity, ionic flux, and changes in brain excitability. *Epilepsy Res*. 1998; 32(1): 275-85.
- Geda G, Caksen H, Icagasioglu D. Serum lipids,

^{۱۹} Prostaglandins

13. Scharfman HE. The neurobiology of epilepsy. *Curr Neurol Neurosci Rep.* 2007; 7(4): 348-54.
14. Kiviranta T, Airaksinen E. Low sodium levels in serum are associated with subsequent febrile seizures. *Acta Paediatr.* 1995; 84(12): 1372-4.
15. Fröhlich F, Bazhenov M, Iragui-Madoz V, Sejnowski TJ. Potassium dynamics in the epileptic cortex: new insights on an old topic. *Neuroscientist.* 2008; 14(5): 422-33.
16. Hablitz JJ, Lundervold A. Hippocampal excitability and changes in extracellular potassium. *Exp Neurol.* 1981; 71(2): 410-20.
17. Korn SJ, Giacchino JL, Chamberlin NL, Dingledine R. Epileptiform burst activity induced by potassium in the hippocampus and its regulation by GABA-mediated inhibition. *J Neurophysiol.* 1987; 57(1): 325-40.
18. Noebels JL, Avoli M, Rogawski MA, Olsen RW, Delgado-Escueta AV, Miles R, et al. Chloride homeostasis and GABA signaling in temporal lobe epilepsy. 2012.
19. Gorji A, Stemmer N, Rambeck B, Jürgens U, May T, Pannek HW, et al. Neocortical microenvironment in patients with intractable epilepsy: potassium and chloride concentrations. *Epilepsia.* 2006; 47(2): 297-310.
20. Prasad R, Singh A, Das B, Upadhyay R, Singh T, Mishra O. Cerebrospinal fluid and serum zinc, copper, magnesium and calcium levels in children with Idiopathic seizure. *J Clin Diagn Res.* 2009; 3(6): 1841-6.
21. Chen Y, Parker WD, Wang K. The role of T-type calcium channel genes in absence seizures. *Front Neurol.* 2014; 5: 45. doi: 10.3389/fneur.2014.00045.
22. Grisar T, Guillaume D, Delgado-Escueta A. Contribution of Na^+ , K^+ -ATPase to focal epilepsy: a brief review. *Epilepsy Res.* 1992; 12(2): 141-9.
23. Palanisamy A, Arifa M, Narmadha M, Rajendran N. Folic acid level and lipid profile in epilepsy patients on antiepileptic drug treatment. *Int J Pharmacol. Clin Sci.* 2012; 1: 91-6.
24. Porta N, Bourgois B, Galabert C, Lecointe C, Cappy P, Bordet R, et al. Anticonvulsant effects of linolenic acid are unrelated to brain phospholipid cell membrane compositions. *Epilepsia.* 2009; 50(1): 65-71.